

(1978. 9. 14.)

# 仮想テープとメモリ管理

板野 育三(筑波大学電子情報工学系)

## 1. はじめに

仮想記憶上では、アクセスされるデータの局所性がシステムの効率に大きく影響する。そこで、局所性の高い逐次的なのかアクセスされるデータ構造を仮想記憶として実現し、仮想テープ(*Virtual tape, V-tape*)と呼ぶことにした。“仮想”という言葉をついた理由は、仮想記憶であると“う事の他に、通常の物理的テープではなくて、Turing[1]以来使用されていいる様な論理的抽象的イメージを与える為である。ニニ<sup>2</sup>は、實際に試作せず、V-tapeを取扱う機器を持つ計算機に基づく。そのシステムの解説を行なう。

## 2. 仮想テープの基本的概念とその使用法

### 2.1 総論に逐次的の使用

V-tapeは、論理的には逐次的に配列されたデータセルで構成されていて、相対的、逐次的アクセスは可能であるが、V-tape内のデータセルに対する絶対アドレスの概念はないので、自由なランダムアクセスはできない。V-tapeのデータセルのアクセスにはヘッドを使用され、右端は左隣りのデータセルに移動する。V-tapeは左右に完全に対称であり、両端に BOT(Beginning of Tape), EOT(End of Tape)と呼ぶ境界がある。V-tape上の方向は、BOT側を左後向、EOT側を右前向とする。

最初に定義された時は、V-tapeは長さ0、すなはち、データセルを含んでいない。ヘッドが置かれて、V-tape上で移動する時に伴ない、自動的に延長される。又、同時に複数本のV-tapeとヘッドを定義することも可能であり、一本のV-tape上に2個以上のヘッドを同時に置いて使用してもよい。

さて、純粹に逐次的の使用だけであれば、以下に示す様々な基本的命令ができるのである。

(1) V-tape生成命令 (`tapeid ← CREATE TAPE(eraze, l);`)

`eraze`で指定されたモード(候選)を持ち、最大の長さを `l` で割り当てた V-tape を生成し、この V-tape を識別する `tapeid` を与える。`l` もうまくなければ V-tape の長さに割り当てられる。

(2) V-tape削除命令 (`DELETE TAPE(tapeid, ...);`)

`tapeid`により指定された V-tape を削除する。V-tape の長さは 0 で、ヘッドはすべて位置を失う。

(3) ヘッド生成命令 (`headid ← CREATE HEAD(tapeid, l, m);`)

`m` で指定されたモード(Read only, write only, etc)を持つヘッドを生成し、`tapeid` で指定された V-tape の BOT の右隣りのデータセル上に置く。これが EOT ならば、V-tape は自動的に 1 セル分延長され、そのセル上にヘッドが置かれる。`l` は、データセルの物理的長さを指定する 10進メタである。

(4) ヘッド削除命令 (`DELETE HEAD(headid, ...);`)

`headid`により指定されたヘッドを削除する。ヘッドの長さは 0 で、T=1 で

スは、すべて返還される。

(5) Head 1 によるアクセス命令 (VT $\alpha\beta\delta$ (head1, data);)

$\alpha\beta\delta$  は RWFBE 或 null 中の 1つ。  $\alpha\beta\delta$  の順序で機能する。 RWFBE の機能は以下の通りである。

① R : ヘッドセルをデータセルのデータを読み出す。

② W : ヘッドセルをデータセルにデータを書き込む。

③ F : 右のセルに移動する。

④ B : 左のセルに移動する。

⑤ E : ヘッドセルを VTape により取除く。

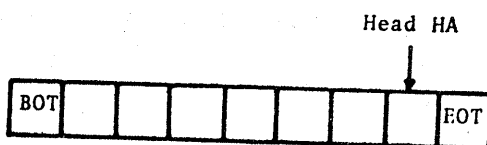
e.g. VTRF(h1, d) : ヘッド h1 下のデータセルを d に読み出しつつ前進。

VTBW(h1, d) : ヘッド h1 を後進させて d を書き込む。

## 2.2 Stack & Queue

Stack, Queue は重要な有用な逐次アクセス形のデータ構造である。 V-tape 上で容易に実現できる。 Stack の場合は、ヘッドは stack pointer と 1つ使用し、 図 1 に示す様に push down は VTWF 命令でデータを下へ読み出し。 pop up は VTBR 命令で実行する。 Queue, deque の場合は、ヘッドを 2個使用する必要がある。 queue では、一方のヘッドは VTWF 命令で V-tape 上のデータを書き込み下へに使用し、もう一方のヘッドは VTRF 命令でデータを読み出して下へに使用する。<sup>(2)</sup> deque [9] の場合は、2つのヘッドが、読み出し書き込みの両方に使用される。 LISP のガーベージコレクションに使用する Stack の時は、スタート上にもう 1つのヘッドを置いて走査する様な scannable stack [4, 5, 7] が必要である。又、multiple buffering operation を実行する際に役立つ様だ。 multi-headed queue 等も簡単に実現できる。 UNIX [6] 等で実現されることは process 間にインターフェイスする "pipe" を基準内には queue である。 V-tape で使用されれば、buffer 上に動作すればいいからこそ、自動的に処理が可能である。

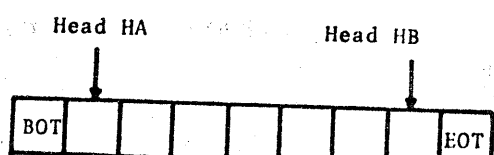
Stack Implementation



write (push down) : VTWF(HA,data)  
read (pop up) : VTBR(HA,data)

FIG.1

Queue Implementation



write : VTWF(HB,data)  
read : VTRF(HA,data)

FIG.2

## 2.3 V-tape の erase 機能

Stack 上で  $\alpha = \gamma$  よりも前方 (上) の部分は、論理的に存在しないものとする。 queue では、読み出しより後方の部分が二重に存在する。 これは端所のヘッドの動きに応じて、自動的に V-tape により消去 (erase) されていくがそのための  $\alpha$ 。 この様な erase 機能は V-tape の属性として指定することができる。 一般的に、erase すると「 $\alpha$  と  $\gamma$  との間の  $\beta$  の部分を意味する」といふ。 つまり、erase すると  $\alpha$  と  $\gamma$  の間に  $\beta$  の部分が存在しないのであるが、アクセスを干渉する  $\beta$  は禁止する必要があることとなる。 また一つは、仮想空間の効率的使用の為、使用してはいけない。

スを遷移するとこうことである。

#### 2.4 PLACE と mark

純粹な逐次アクセスしか行なわぬ時は、以上に説明した機能を充ててあるが、実際的な計算処理への応用では、V-tape 上の特定の位置へ、ヘッドを直接的に移動することができる事である。まず、ヘッドの様にマスを占有して、V-tape 上のデータセルの位置のみを保持する為に、マークという概念を導入する。そして、ヘッドとマークを別々のヘッドやマークが置かれてるデータセル上に直接的に移動する命令 $\downarrow$ と $\uparrow$  PLACE という新しい命令を導入する。これらは、後に説明する様な V-tape 上で数値計算アルゴリズム等を実現する際に不可欠のものである。

マ-7. PLACE 等の命令につづけての説明を以下示す。

(1) マーク生成命令 ( $markid \leftarrow CREATEMARK();$ )

新しくマークを生成して、このマークを識別する markid を与える。

(2) マーク削除命令 ( $DELETEmARK(markid);$ )

markid で指定されたマークを削除する。

(3) PLACE 命令 ( $PLACE(id1, id2);$ )

$id1$  で指定されたヘッド又はマークを、 $id2$  で指定されたヘッド又はマークの位置へ移動する。

V-tape の BOT, EOT は special mark である。

#### 2.5 V-tape の局所的ランダムアクセス

原来、V-tape は 逐次的アクセスしか行なかないデータ構造とて導入したのではあるが、実際のプログラムングの際には、少しだけ局所性にはランダムアクセスが可能な方が有利であるので、2つのタイプのランダムアクセスを導入する。

まず最初のタイプは、ヘッドの移動に関するものである。即ち 1 回の命令でセルだけヘッドを移動させる様な命令を考える。VTFX, VTBX の 2つがこれである。

$$VTFX(\text{headid}, n) = VTBX(\text{headid}, -n)$$

という関係にある。但し、VTFX は現在の位置を前方か、VTBX は後方の  $n$  の正の移動方向である。

2番目のタイプの命令は、ヘッドより相対的に  $n$  セルだけ離れたデータセルのアクセスをする命令である。これらの命令は次の様な形式で書く。

$$VTRX(\text{headid}, \text{data}, n), VTWX(\text{headid}, \text{data}, n)$$

この種のランダムアクセス命令は、当然のことをながる。  $n$  が大きくなるほどデータアクセスの局所性を著しく悪くするので、使用にあたっては、充分の  $n$  の注意が必要である。

### 3. V-tape ミニシステムのインストール

#### 3.1 ミニシステムの構成

ハードウェアシステムは、試作した CPU と 64KB の主記憶、V-tape の記憶管理及び入出力処理を実行する "intelligent channel", 2.5MBPS disk, 他から構成

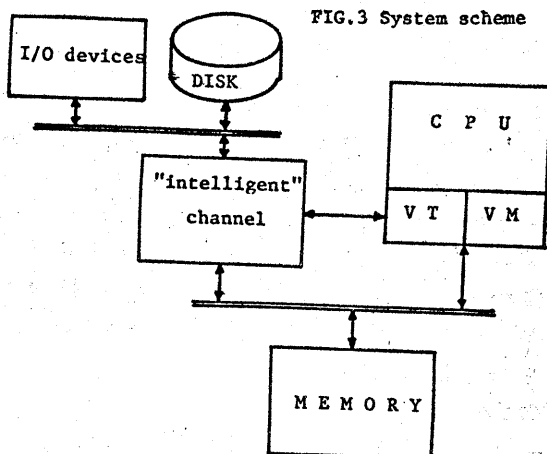
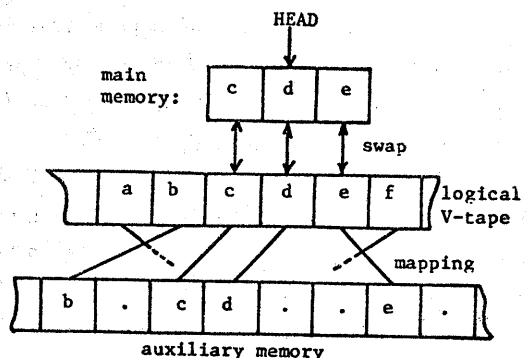


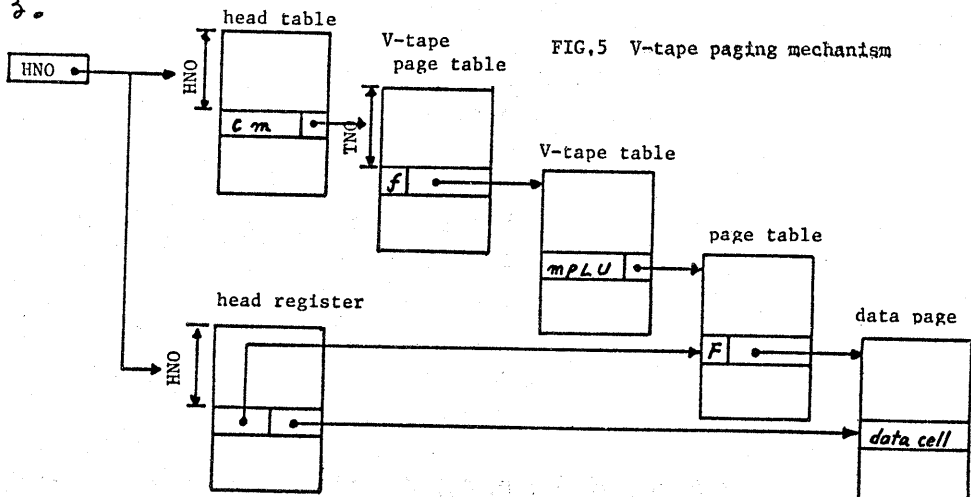
FIG.4 V-tape paging



成されており。この概要を図3に示す。CPUはBCPLのINTCODE machine(後述)を基本として、V-tape及び通常の仮想記憶の機構を兼備している。又、"intelligent channel"はTOSBAC40Cを使用した。

### 3.2 V-tape のページング

V-tapeの物理的実体の大部分は、ランクルアセス型の補助記憶内に存在し、下のデータセルとの近傍の分を高速記憶上に読み出しつつアクセスする。V-tapeは必要に応じて、ダイナミックにその長さが延長、縮小されるので、記憶装置を能率よく管理する為には、V-tapeの実体は固定量のページに分割する。これらのページは、高速記憶及び補助記憶上でV-tapeは物理的に割り当てまる。図4に示す。ヘッドとページングの関係が簡単に示されている。ヘッドは、V-tape上を単純に逐次的に順次読み取る。前も、後も隣りのページも高速記憶上に確保されなければ(look-ahead swapping)、on demand page型の仮想記憶の場合にはmissing page faultはかねて減少してくれる。図5には、V-tapeのアドレス変換機構の概要が示してある。このTableの参照は、かなり複雑であるので、簡略化を試みる。head registerは高速記憶上の物理アドレスを保持している。



#### 4. アルゴリズムとシステムの解説

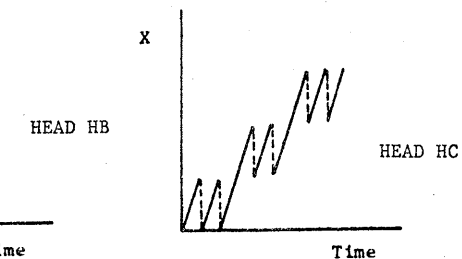
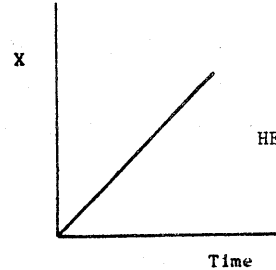
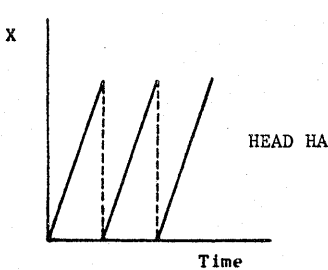
#### 4.0 測定の環境

以下、V-tape上で実施した各種計算アルゴリズムの性能及びシステムの実測値は、V-tape及びデータマニトペーパー・ミニアシスシステムの両者で比較した。その結果、高速記憶は16KBに割り当て、ページサイズは、512, 1024, 2048バイトの3種類について実測した。

## 4.1 行刑の儀.

行列データのV-tape上の格納形式は、行シヒビデータをつめて一次元的に格納する"packed row storage"方式を用いた。行列A, Bの積Cは  $c_{ij} = \sum_k a_{ik} b_{kj}$  で定義され、N次の正方行列である場合は、プログラムM1の様に1で計算できる。しかし、このプログラムには階層構造をもつ記憶上での効率よく実行できない。そこで、ネスト1E loopの入出力箇所[7]をすきこすにより、プログラムM2の様に実験すれば、データアクセスの局部性がよくなり、効率が改善される。プログラムM1では全体の計算に必要なスケーリングは  $N^4$  に比べて、M2では  $N^3$  に比べる。従て、天下にスケーリングが軽減される。この様な変換は、最近のオプティマイズを行なうコンパイラーでは、行なってある。また、M2にはさくさくデータのアクセスは局部的には、ほとんど直線的なアクセスであり、そのままでV-tapeを用いて実行できる。このアルゴリズムでは、ヘッドのデータ一定期間ごとに、V-tapeの特定の位置に戻す。

FIG. 6 Head movement



program M1.

```

      DO 20 J=1,N
      DO 10 I=1,N
10    C(I,J)=0
      DO 20 I=1,N
      DO 20 K=1,N
20    C(I,J)=C(I,J)+A(I,K)*B(K,J)

```

### program M2.

```

      DO 20 J=1,N
      DO 10 I=1,N
10    C(I,J)=0
      DO 20 K=1,N
      DO 20 I=1,N
20    C(I,J)=C(I,J)+A(I,K)*B(K,J)

```

program VTM2.

// matrices A, B are on V-tapes TA, TB, and  
matrix C is on V-tape TC.

```

HA=CREATEHEAD(TA)
HA2=CREATEHEAD(TA)
HB=CREATEHEAD(TB)
HC=CREATEHEAD(TC)
HC2=CREATEHEAD(TC)
DO 10 J=1,N
CALL PLACE(HA,HA2)
CALL PLACE(HC2,HC)
DO 20 K=1,N
20 CALL VTWF(HC,0)
DO 10 I=1,N
CALL PLACE(HC,HC2)
DO 30 K=1,N
CALL VTRF(HA,DA)
CALL VTR(HB,DB)
CALL VTR(HC,DC)
DC=DC+DA*DB
30      CALL VTWF(HC,DC)
10 CALL VTF(HB)
CALL DELETEHEAD(HA,HA2,

```

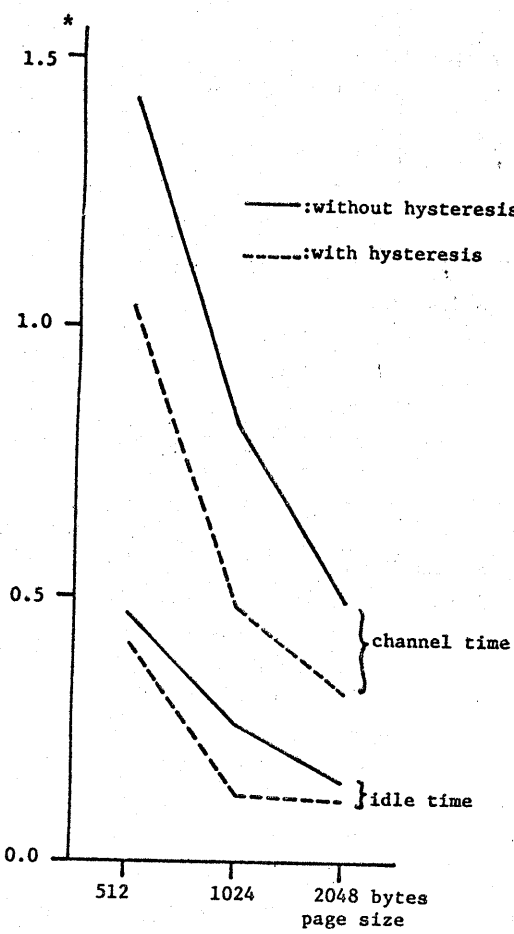


FIG.7 Hysteresis effect

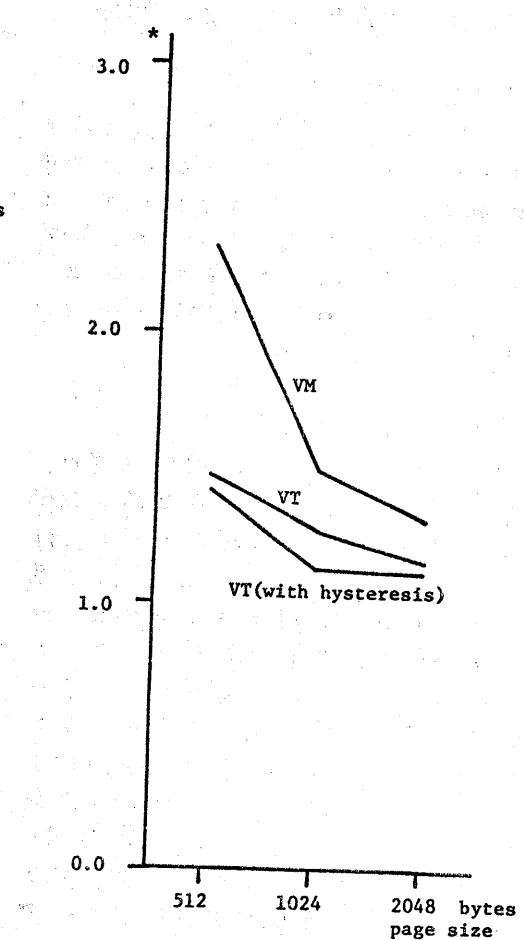


FIG.8 Speed of matrix multiplication  
\*normalized by cpu time

て <math>\leq 2</math>。そこには mark の代りにヘッドを置けば更に speed を上げると書かれています。この部分では VTM2 が示す。VTM2 は実行中のヘッド HA, HB, HC の動きを表していますのが図6である。図8の VM, VT は、それが V-type マトリクスマジング実行時間と、V-type 上で実行した行列後の実行時間である(この計算だけ実行時間 elapsed time)。

V-type ネステムでは、ヘッドに必要なページは look-ahead 1 や swap 1 などです。ヘッドがページの境界でたまに振舞すると、余分な swap request が発生して、システム全体に悪影響を及ぼす。これを防止する方法は、swap request 発生とヘッドの動きの間にヒステリシスを入れてやればよい。VTM2 でヒステリシスがあるとき、次の時で実行する。swap が消費する時間と、cpu の idle time を測定してデータ化(図7)が示されています。ヘッドが単純に一方向の方向に進むときは、ヒステリシスが子細には不利であるが、少し複雑な動きをする時は効果があることがわかる。

#### 4.2 行列の対角化

建立一次方程式を解く際にも、行列を対角化することは必要である。これは

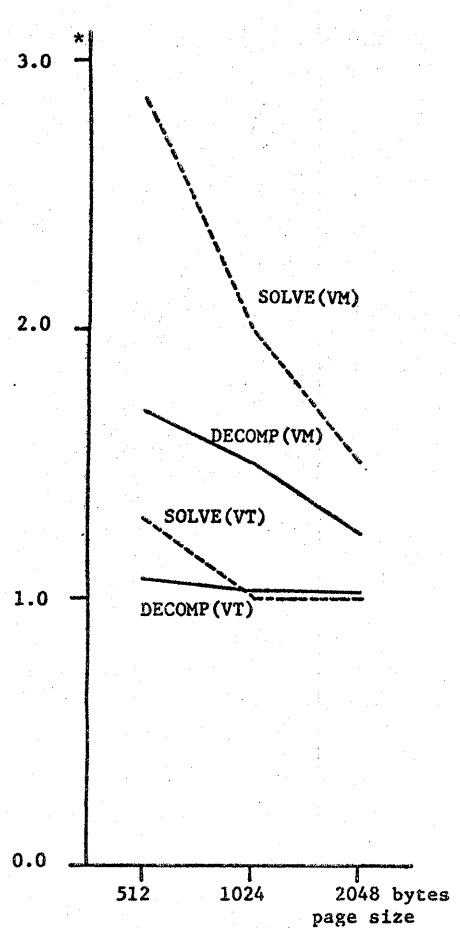


FIG.9 Speed of Linear Equation Solving

V-tape 上で Gauss の消去法は、 $\rightarrow$  行列を三角化し、対角化するところを省略。この時は、完全ピボット交換は困難であるので部分ピボット交換を行つたいため。測定結果は、三角化のプロセス (DECOMP) と、後退代入のプロセス (SOLVE) につれて別々に行つた。図9に示す通りである。又復元法による解法や、帰納法による解法など V-tape 上で実行する方法もある。

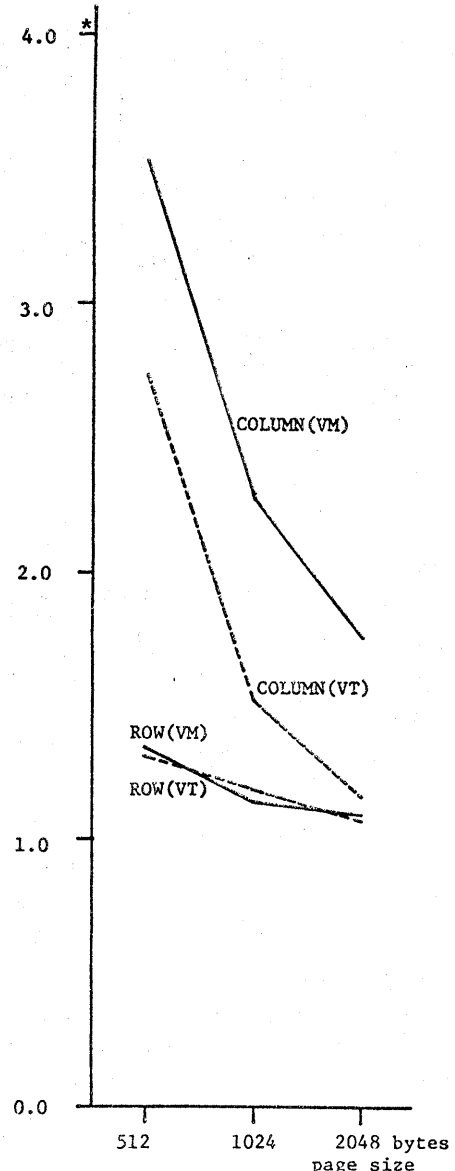


FIG.10 Speed of FFT

#### 4.3 2次元高速フーリエ変換 (Fast Fourier Transform, FFT)

一般に、1次元のFFTは、データ量が大きいと、多くのreal memory内で処理せざるを得ない。画像情報等の2次元FFTは、データの量が莫大である。取扱いに注意を要する。V-tape 上で行なうアルゴリズムは、 $\rightarrow$  2回用いる。即ち、 $\rightarrow$  2回用いる。測定は、行差換と列差換を別々に行なう。この結果は、図10に示す通り。

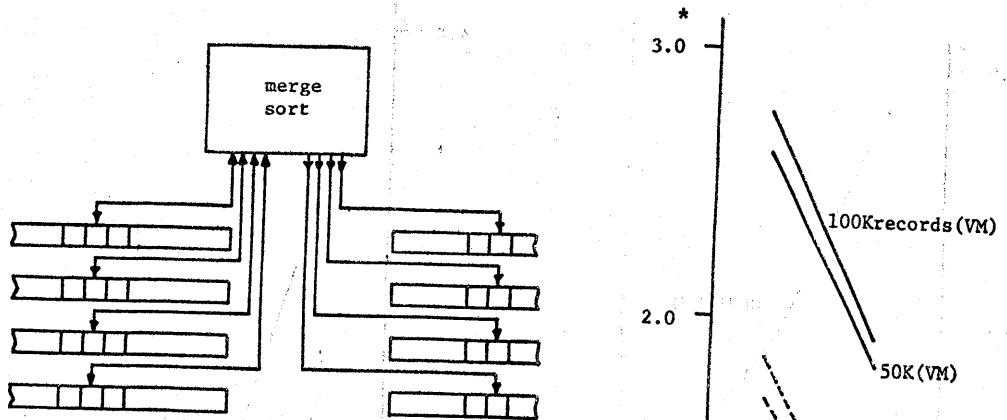


FIG.11 Merge sorting on V-tapes

#### 4.4 ソーティング

merge sorting は、最も単純でかつ能率のよいリート接続の一つであり、補助記憶を用いたシステム上で、多くのアルゴリズムが考案されている。2次のバランスマージソートをV-tapeで実行するには、2本のV-tapeと4個のheadがあればいい。マージソートの能率は、マージの次数を上げれば良くなる。磁気テープの場合、システムによると物理的制限があるが、カセットトマージヒューリックは1スレーブマージ等の複雑なアルゴリズムの使用により次数を上げていい。ニカルのアルゴリズムでは、1時間には1本のテープが出力用に使用され、残りのテープは入力用に使用する様な工夫がされている。(しかししながらS. V-tapeでは、高速記憶の容量の許す限りの本数のテープが使用できるばかりでなく、ヘッドの数もテープの数よりも少なくすることができる。バランスマージソートでは、マージの次数が上昇するに伴うコスト。V-tapeの場合は物理的出力端子より倍位であることを示す)。次に、V-tape上のマージソートとマージオプの通常の仮想記憶上では、大きなSのデータを4次の1132スロットに1.1-1.3と、2M個の配列が必要であり、2S~2MSの領域が必要となる(しかし、V-tapeを用いると、1ヘッドが読み終るまでeraseすればよい)。マージソートは必要な領域は、1732Sだけあればよい。従て、仮想空間は大きく節約できる。又、マージソートでは、V-tapeが消去する部分は swapout が必要となる。又新しい書き込み領域は swapin する必要があるので、必要なスワップ領域はオーディオペーパー型仮想記憶での量の約3/4に縮減される。V-tapeは4次のマージの概念図を図11に、100000レコード、50000レコードのマージソート時の実測データを図12に示す。レコードのサイズは16bytes、Tapeは乱数を使用した。

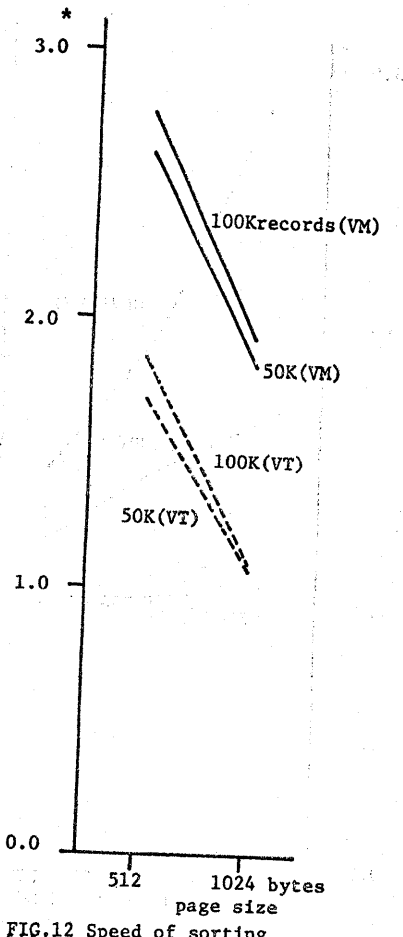


FIG.12 Speed of sorting

\*normalized by cpu time

#### 4.5 BCPL コンパイラ

BCPL[2] の INTCODE machine は、比較的単純な stack oriented の計算機である。これは、V-tape をアドレス空間の中に入用いて、コマンドを直接使用した結果を示す。BCPL コンパイラは、図 13.1 の手順に、4つめフェーズ（後段）AE tree 以外は、すべて通常形のファイルとして V-tape が使用できる。コンパイルと入出力部分の速度を実測した結果が、表 2 に示してある。これは、TOSBAC40 のソフトウェアで処理（インストラクション入出力処理）とハードウェアで処理（データ場合）の結果が比較してある。表 1 は、INTCODE machine の代表的な命令の実行速度を測定した結果が示してある。

#### 5. おわりに

以上の応用に限らず、一般的なファイル入出力処理、更に Relational data base 等にも適用することができる。補助記憶装置をすべて、仮想記憶という概念で取扱うには、segment という概念と V-tape という概念をあわせ、すべて統一的に取扱えるのが特徴である。

一般に計算処理を V-tape を用いて実行する場合は、アルゴリズムを変換する必要があり、やや複雑となるが、CPU の idle time 及び elapsed time はマルチプロセッシングのシステムでもカタリ減少である。V-tape はステムは 16-ビット式仮想記憶の性能を改善する次のテープと「データ構造」、先行スクロールを指定できる命令セットをもつシステムとかなり近いものである。V-tape の概念を大型計算機に応用すれば、データスワップによる CPU の idle time を減らすことが可能であり、よりセス間の制御の移動が少なくて済むので、OS のオーバーヘッドが減少する。又マルチプロセッシングシステムにおいても、マルチスレッドの多重要求が減ることができるのである。

TABLE.1 Speed of instruction

|       |      |      |      |      |
|-------|------|------|------|------|
| load  | 4.3  | 5.1  | 10.9 | 10.9 |
| store | 12.4 | 12.8 | 15.9 | 15.9 |
| add   | 4.7  | 5.1  | 11.0 | 11.0 |
| VTR   | 22.8 |      |      |      |
| VTRF  | 26.0 |      |      |      |

all data in micro-second

TABLE.2 Speed of BCPL compiler

|                            | phase 1       | phase 2     | phase 3     | phase 4     | total  |
|----------------------------|---------------|-------------|-------------|-------------|--|
| cpu time                   | 11.4<br>149.1 | 6.2<br>79.0 | 5.3<br>64.5 | 3.9<br>52.6 | 26.8<br>345.2                                  |
| I/O routine<br>(with idle) | 0.1<br>12.3   | 0.1<br>4.1  | 0.5<br>13.3 | 0.1<br>7.9  | 0.8<br>37.6                                    |
| channel                    | 1.1<br>1.2    | 1.4<br>1.3  | 3.5<br>3.6  | 0.9<br>0.8  | 6.9<br>6.9                                     |
| unit sec.                  |               |             |             |             |  |
|                            |               |             |             |             | BCPL machine+VT<br>Soft. interpreter+soft. I/O |

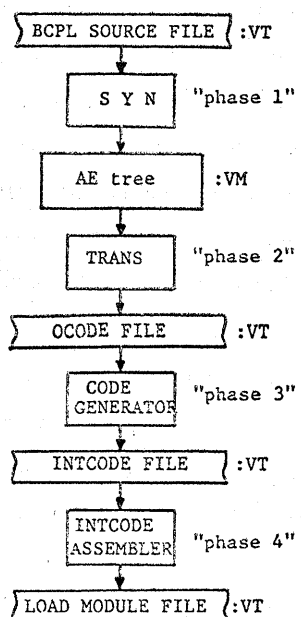


FIG.13 Phases in BCPL compiler

References:

1. Turing, A. M. On computable numbers with an application to the Entscheidungproblem. Proc. London Math. Soc., (1936).
2. Richards, M. A tool for compiler writing and system programming. SJCC, (1966), 557-556.
3. Goto, E., Itano, K., and Mateev, L. A. Propositions for birtual multihead multtape processor. Proc. of 15th Annual Conference of IPSJ, Kyoto. (Nov. 1974).
4. Sassa, M., and Goto, E. "V-tape", a virtual memory oriented data type, and its resource requirements. Research Report no. C-9, Tokyo Institute of Technology, (Jan. 1977).
5. Mateev, L. A. A proposal for virtual multi-head and multtape processor. M.S. Thesis, Department of Physics, Univ. of Tokyo, Japan, (Jan. 1975).
6. Itano, K., Ida, T., Ikawa, M., and Ishihata, K. Virtual multihead multtape processor. Proc. of 16th Annual Conference of IPSJ, Tokyo, (Nov. 1975). (in Japanese)
7. Itano, K. Realization of a Processor with virtual tapes and its evaluation. Doctor of Science dissertation, Univ. of Tokyo, (Jan. 1977).
8. Cheney, C. J. A non-recursive list compacting algorithm. Comm. ACM 13, 11 (Nov. 1970), 667-678.
9. Knuth, D. E. The art of computer programming I, Addison-Wesley, (1968).
10. Goto, E. Ida, T., and Gunji, T. Parallel Hashing algorithms. Information Processing Letters, 6, (1977), 8-13.
11. Elshoff, J. L. Some programming techniques for processing multi-dimensional matrices in a paging environment. NCC, (1974).
12. Forsythe, G. and Moler, C. B. Computer solution of linear algebraic system. Prentice-hall, (1967).
13. Cooley, J. W., and Turkey, J. W. An algorithm for the machine calculation of complex Fourier series. Math. Comput. 19(1965), 297-301.
14. Singleton, R. C. A method for computing the fast Fourier transform with auxiliary memory and limited high speed storage. IEEE Trans. AU-15, 2 (June 1972).
15. Lorin, H. Sorting and sort system. Addison-Wesley, (1975).
16. Ritchie, D. M., and Tompson, K. The UNIX Time-Sharing System, CACM, vol. 17, (1974), 365-375.

APPENDIX List of V-tape instructions

1. tapenumber := CREATEAPE(erasemode)
2. DELETEAPE(tapenumber,...)
3. headnumber := CREATEHEAD(tapenumber)
4. DELETEHEAD(headnumber,...)
5. VTbY : head instructions  
bY are one of the letters:  
R(read), W(write), F(forward), B(backward)  
E(erase), or a void.
6. Random access extension  
VTFX, VTBX, VTRX, VTWX
7. marknumber := CREATEMARK()
- 8: DELETEMARK(marknumber,...)
9. PLACE(head/marknumber1, head/marknumber2)